

# 重建一维多层媒质的时域信号流图法\*

崔铁军 梁昌洪  
(西安电子科技大学, 西安 710071)

**摘要** 本文首次提出重建多层媒质的时域信号流图法。通过多层媒质的等效网络, 引出时域信号流图的概念, 建立其使用法则。借此分析了多层媒质的时域反射机理, 并给出重建方法。

**关键词** 多层媒质; 重建; 时域信号流图; 时域反射; 逆散射

## 一、引言

目前, 逆散射技术的应用非常广泛, 因此, 国际上众多学者对逆散射问题表现出越来越浓厚的兴趣, 并相应地建立起许多不同的研究方法<sup>[1-4]</sup>。尤其是一维媒质层的重建问题, 其理论和方法均已趋于成熟, 如 Gal'fand-Levitan 法、Balanis 法等<sup>[1]</sup>。但这些方法比较适合于连续媒质层。

当所研究的媒质是多层媒质时, 其时域反射系数应该是一系列反射脉冲<sup>[3-4]</sup>, 如果再使用上述方法, 重建结果将有某些缺陷<sup>[1]</sup>。如何较理想地解决这个问题, 不仅有重要的理论意义, 而且对探地、测矿等均有十分广泛的应用价值。

本文所介绍的重建一维多层媒质方法, 是根据媒质的等效网络, 提出时域信号流图的概念和法则, 并借此成功地分析了时域反射系数的脉冲反射特性。利用这些性质, 建立起多层媒质的反演方法。最后, 文中给出了重建实例。

## 二、多层媒质的等效网络和时域信号流图

设所研究的多层媒质为  $n$  层媒质, 其相对介电常数和层坐标分别为  $\epsilon_1, \epsilon_2, \dots, \epsilon_n$ ,  $\epsilon_{n+1} = \epsilon_\infty$ ;  $d_1, d_2, \dots, d_n$ ; 导磁率均为  $\mu_0$ ; 入射波是平面波, 由自由空间垂直入射, 如图 1 所示。

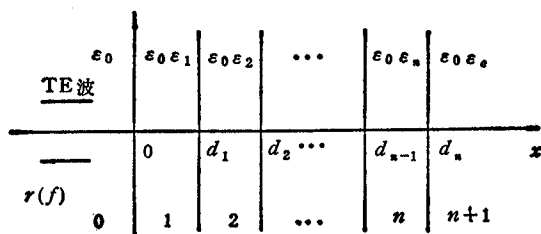
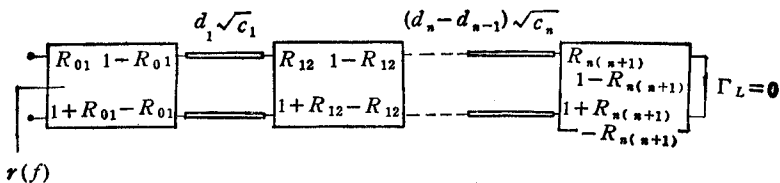
根据数学归纳法, 很容易证明上述  $n$  层媒质的等效网络如图 2 所示, 且其反射系数与等效网络的输入反射系数完全相同<sup>[3-4]</sup>。图中

$$R_{01} = (1 - \sqrt{\epsilon_1}) / (1 + \sqrt{\epsilon_1}) \quad (1)$$

$$R_{m(m+1)} = (\sqrt{\epsilon_m} - \sqrt{\epsilon_{m+1}}) / (\sqrt{\epsilon_m} + \sqrt{\epsilon_{m+1}}), \quad (m = 1, 2, \dots, n)$$

1991.05.16 收到, 1991.09.26 定稿。

\* 国防科工委和机电部电子科学研究院基金资助课题。

图 1 平面波垂直照射一  $n$  层媒质图 2  $n$  层媒质的等效网络(图中的  $c_1, c_n$  应为  $\epsilon_1$  和  $\epsilon_n$ )

为方便地分析多层媒质的时域反射特性,我们在频域基础上,利用 Fourier 变换性质和卷积定理,将信号流图推广到时域,即引出时域信号流图的概念,其使用法则列于表 1。其中,  $A_1(t)$ ,  $A_2(t)$ ,  $P(t)$ ,  $Q(t)$ ,  $W(t)$  分别是  $a_1(f)$ ,  $a_2(f)$ ,  $p(f)$ ,  $q(f)$ ,  $w(f)$  的 Fourier 变换,“\*”表示卷积。

表 1 频域、时域信号流图的基本法则及其比较

频域信号流图		时域信号流图	
串行相乘	$a_1(f) \xrightarrow{p(f)} a_2(f)$ $a_2(f) = p(f) q(f) a_1(f)$	$A_1(t) \xrightarrow{P(t)} A_2(t)$ $A_2(t) = P(t) * Q(t) * A_1(t)$	
并行相加	$a_1(f) \xrightarrow{p(f)} a_2(f)$ $a_2(f) = [p(f) + q(f)]$	$A_1(t) \xrightarrow{P(t)} A_2(t)$ $\hat{A}_2(t) = [P(t) + Q(t)] * A_1(t)$	
消环法则	$a_1(f) \xrightarrow{p(f)} \text{环} \xrightarrow{w(f)} q(f) \xrightarrow{q(f)} a_2(f)$ $a_2(f) = a_1(f) \frac{p(f) q(f)}{1 - w(f)}$ $= a_1(f) p(f) q(f)$ $\times [1 + w(f) + w^2(f) + \dots]$	$A_1(t) \xrightarrow{P(t)} \text{环} \xrightarrow{W(t)} Q(t) \xrightarrow{Q(t)} A_2(t)$ $A_2(t) = A_1(t) * P(t) * Q(t)$ $* [1 + W(t) + W^2(t) * W(t) + \dots]$	

### 三、多层媒质的时域反射系数和反射机理

在获得多层媒质的等效网络后,我们用时域信号流图来求时域反射系数。

#### 1. 单层媒质

根据单层媒质的等效网络,可得其时域信号流图如图 3 所示。图中

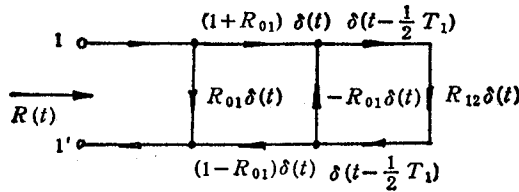


图 3 单层媒质的时域信号流图

$$T_1 = 2d_1 \sqrt{\epsilon_1}/c, \quad (c \text{ 为光速}) \quad (2)$$

根据时域信号流图的基本法则,易得

$$\begin{aligned} R(t) = & R_{01}\delta(t) + (1 - R_{01}^2)R_{12}\delta(t - T_1) + (1 - R_{01}^2)R_{12}^2(-R_{01})\delta(t - 2T_1) \\ & + (1 - R_{01}^2)R_{12}^2R_{01}^2R_{12}\delta(t - 3T_1) + \dots \end{aligned} \quad (3)$$

将(3)式与直接由  $r(f)$  经 Fourier 变换所得的  $R(t)$  比较<sup>[4]</sup>,二者是完全相同的。注意,后者在频域内利用了  $r(f)$  的周期性,使在有限频带内,得到了  $R(t)$  的理想  $\delta$  脉冲。

## 2. 双层媒质

由双层媒质的等效网络,可得其时域信号流图如图 4 所示。其中

$$T_1 = 2d_1 \sqrt{\epsilon_1}/c, \quad T_2 = 2(d_2 - d_1) \sqrt{\epsilon_2}/c \quad (4)$$

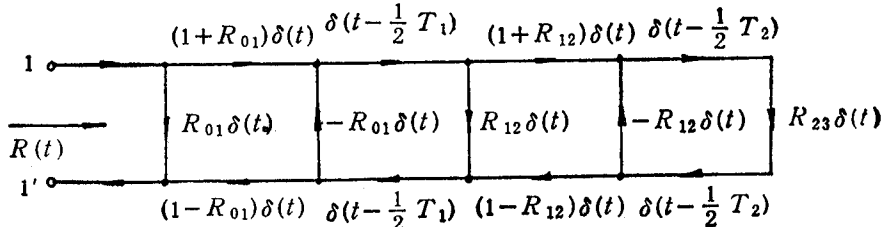


图 4 双层媒质的时域信号流图

由图 4 可得

$$\begin{aligned} R(t) = & R_{01}\delta(t) + (1 - R_{01}^2)R_{12}\delta(t - T_1) + (1 - R_{01}^2)(1 - R_{12}^2)R_{23}\delta(t - T_1 - T_2) \\ & + (1 - R_{01}^2)R_{12}^2(-R_{01})\delta(t - 2T_1) + (1 - R_{01}^2)R_{12}^2R_{01}^2R_{12}\delta(t - 3T_1) + \dots \\ & + 2(1 - R_{01}^2)(1 - R_{12}^2)(-R_{01})R_{12}R_{23}\delta(t - 2T_1 - T_2) + 3(1 - R_{01}^2)(1 - R_{12}^2) \\ & \times R_{01}^2R_{12}^2R_{23}\delta(t - 3T_1 - T_2) + \dots + (1 - R_{01}^2)(1 - R_{12}^2)R_{23}^2(-R_{12})\delta(t - T_1 \\ & - 2T_2) + (1 - R_{01}^2)(1 - R_{12}^2)R_{23}^2R_{12}^2R_{23}\delta(t - T_1 - 3T_2) + \dots \\ & + (1 - R_{01}^2)(1 - R_{12}^2)^2R_{23}^2(-R_{01})\delta(t - 2T_1 - 2T_2) + \dots + 2(1 - R_{01}^2) \\ & \times (1 - R_{12}^2)R_{23}^2(-R_{12})R_{12}(-R_{01})\delta(t - 2T_1 - 2T_2) + \dots \end{aligned} \quad (5)$$

(5) 式给出了一般双层媒质的时域反射系数闭式解。如果直接求  $r(f)$  的 Fourier 变换,此式很难获得。

对于三层或  $n$  层媒质,依照上述步骤同样可以得到  $R(t)$  的解析解。为验证所得结果的正确性,表 2 列出了双层、三层媒质时域反射系数的解析解与  $r(f)$  经离散 Fourier 变

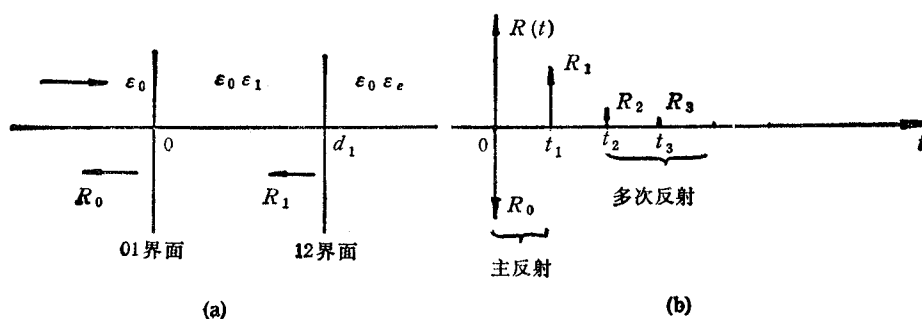
换(FFT)后数值结果的比较。可见,二者十分吻合。

表 2 双层媒质、三层媒质的时域反射系数

$n = 2$			$n = 3$		
$\epsilon_1 = 4 \quad \epsilon_2 = 16 \quad \epsilon_3 = 2$ $d_1 = 0.5 \quad d_2 = 1.0$			$\epsilon_1 = 4 \quad \epsilon_2 = 16 \quad \epsilon_3 = 36 \quad \epsilon_4 = 4$ $d_1 = 0.5 \quad d_2 = 1.0 \quad d_3 = 1.5$		
时间(ct)	分析结果	FFT 结果	时间(ct)	分析结果	FFT 结果
0	-0.333333	-0.333333	0	-0.333333	-0.333333
2	-0.296296	-0.296296	2	-0.296296	-0.296296
4	0.032922	0.032922	4	0.032922	0.032922
6	0.373699	0.373699	6	-0.161683	-0.161683
8	-0.083451	-0.083451	8	0.035523	0.035523
10	0.074005	0.074005	10	0.004637	0.004637
12	0.038381	0.037984	12	0.387155	0.387155
14	-0.009564	-0.005724	14	-0.085103	-0.087834

根据以上分析,我们知道对于多层媒质,其时域反射系数是一系列反射脉冲。为进一步弄清这些脉冲与介质参数的关系,我们研究其时域反射机理。

首先,从讨论单层媒质入手。如图 5(a),当平面波垂直入射时,在 01 界面、12 界面将产生两个主反射:  $t_0 = 0, R_0 = R_{01}$  和  $t_1 = T_1, R_1 = (1 - R_{01}^2) R_{12}$  (对应于信号流图中由 1 直接到达 1' 的路值),而  $R_1$  在两个界面间又产生多次反射:  $t = 2T_1, R = (1 - R_{01}^2)R_{12}^2(-R_{01}) \dots$  (对应于信号流图中由 1 经多阶环到达 1' 的路值),从时间上看,多次反射一定发生在主反射之后,如图 5(b) 所示。



(a) 单层媒质 (b) 主反射和多次反射  
图 5 单层媒质及其主反射和多次反射

同样,对  $n$  层媒质(如图 1),在 01 界面,12 界面, $\dots$ , $n(n+1)$  界面将产生  $n+1$  个主反射:

$$\left. \begin{array}{l} t_0 = 0, \quad R_0 = R_{01} \\ t_1 = T_1, \quad R_1 = (1 - R_{01}^2)R_{12} \\ \cdots \\ t_n = T_1 + T_2 + \cdots + T_n, \quad R_n = (1 - R_{01}^2)(1 - R_{12}^2) \cdots [1 - R_{(n-1)n}^2]R_{n(n+1)} \end{array} \right\} \quad (6)$$

式中

$$T_1 = 2d_1 \sqrt{\epsilon_1}/c, \quad T_m = 2(d_m - d_{m-1})\sqrt{\epsilon_m}/c, \quad (m = 2, 3, \dots, n) \quad (7)$$

多次反射从略。

通过研究时域信号流图，我们发现主反射  $R_0$ ,  $R_1$  不会受多次反射的影响；由于第二层主反射  $R_2$  可能与第一层内的多次反射发生在同一时刻，故  $R_2$  可能要受第一层多次反射的影响；第三层主反射  $R_3$  可能要受到前两层多次反射的影响；……；第  $n$  层主反射  $R_n$  可能要受到前  $n-1$  层多次反射的影响，如图 6 所示。

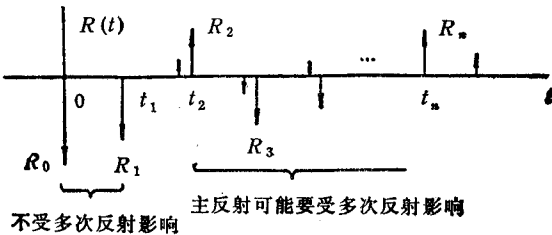


图 6  $n$  层媒质的主反射和多次反射

#### 四、多层媒质的重建

在重建多层媒质的介质参数时，已知的是反射系数  $r(f)$  或  $R(t)$ 。若是前者，经 Fourier 变换即得  $R(t)$ 。我们的目的是根据  $R(t)$  的反射脉冲特性逐层重建  $\epsilon_m$ ,  $d_m$ 。

应该指出，主反射、多次反射中均包含有媒质信息，但是前者绝对值较大，即使有微小误差也无关大局；同时，其公式简单，可以导出介电常数和层坐标的显式。由(6), (7)和(1)式容易推得

$$\left. \begin{array}{l} \epsilon_1 = (1 - R_0)^2 / (1 + R_0)^2 \\ \epsilon_{m+1} = \left( \frac{\alpha_1 \alpha_2 \cdots \alpha_m - R_m}{\alpha_1 \alpha_2 \cdots \alpha_m + R_m} \right)^2 \epsilon_m, \quad (m = 1, 2, \dots, n) \end{array} \right\} \quad (8)$$

以及

$$\left. \begin{array}{l} d_1 = c t_1 / (2 \sqrt{\epsilon_1}) \\ d_m = d_{m-1} + c(t_m - t_{m-1}) / (2 \sqrt{\epsilon_m}), \quad (m = 2, 3, \dots, n) \end{array} \right\} \quad (9)$$

(8)式中

$$\alpha_m = 4 \sqrt{\epsilon_m \epsilon_{m-1}} / (\sqrt{\epsilon_m} + \sqrt{\epsilon_{m-1}})^2 \quad (10)$$

但是，多次反射有时干扰了主反射，所以先要把主反射中的干扰除去。由上一节的分析知道， $(t_0, R_0)$ ,  $(t_1, R_1)$  永远不受多次反射的影响，因此由(8), (9), (10)式可重建出第一层的媒质参数  $\epsilon_1$ ,  $d_1$ ,  $\epsilon_2$ ；用  $R(t)$  减去第一层媒质的反射结果（这部分可由  $\epsilon_1$ ,

$d_1, \epsilon_2$  根据正问题求出), 就暴露出第二层媒质的主反射, 进而反演出  $\epsilon_3, d_2; \dots$ ; 依此类推, 直到  $R(t)$  减去前  $n$  层媒质的反射结果等于零为止。

## 五、重建举例

**例 1** 已知某待重建媒质的频域反射系数如图 7 所示, 试重建此媒质层参数。

首先, 将  $r(f)$  作快速 Fourier 变换 (FFT), 得时域反射系数  $R(t)$  如下:

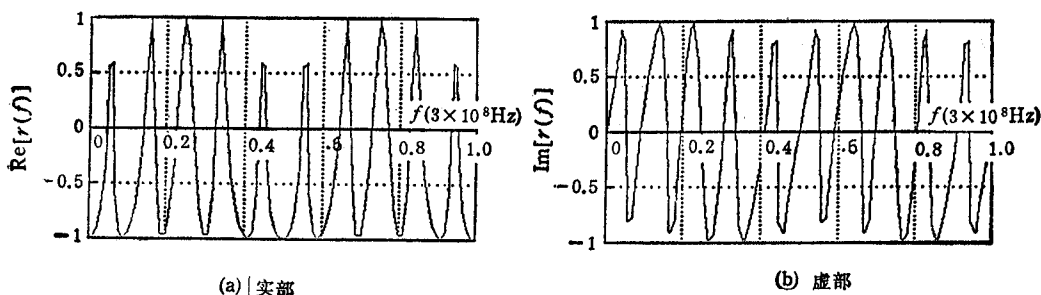


图 7 未知媒质层(例 1)的频域反射系数

时间 (ct)	$R(t)$	时间 (ct)	$R(t)$	时间 (ct)	$R(t)$
0	-0.333333	2	-0.296296	4	0.032922
6	-0.003658	8	0.000406	10	-0.790169
...	...	...	...	...	...

即  $R(t)$  是一系列反射脉冲。由此可判断媒质为多层媒质。具体地,  $R_0 = -0.333333$ ,  $R_1 = -0.296296$ ,  $ct_1 = 2$ , 代入(8),(9)两式, 得

$$\epsilon_1 = 4.00000, \quad \epsilon_2 = 16.00000, \quad d_1 = 0.50000 \quad (10)$$

根据(10)式所列参数, 可计算出第一层媒质的主反射和多次反射为

时间 (ct)	$R_1(t)$	时间 (ct)	$R_1(t)$	时间 (ct)	$R_1(t)$
0	-0.333333	2	-0.296296	4	0.032922
6	-0.003658	8	0.000406	10	-0.000045
...	...	...	...	...	...

用 FFT 结果  $R(t)$  减去上述结果  $R_1(t)$ , 得

时间 (ct) $R(t) - R_1(t)$	时间 (ct) $R(t) - R_1(t)$	时间 (ct) $R(t) - R_1(t)$	
0	0.0	2	0.0
6	0.0	8	0.0
...	...	...	...

由此可知第二层的主反射为:  $ct_2 = 10$ ,  $R_2 = -0.790124$ 。将它代入(8),(9)式, 有

$$\epsilon_3 \rightarrow \infty, \quad d_2 = 1.50000 \quad (11)$$

根据(10),(11)两式可计算出前两层媒质的主反射和多次反射  $R_2(t)$ 。用 FFT 结果  $R(t)$

与之相减恰好为零,说明此媒质就是双层媒质。具体参数为

$$\epsilon_1 = 4.0, \quad d_1 = 0.5; \quad \epsilon_2 = 16.0, \quad d_2 = 1.5.$$

背景媒质是理想导体。

**例 2** 已知某待重建媒质的频域反射系数如图 8 所示;经过 FFT 后,所得时域反射系数  $R(t)$  示于图 9。可见,  $R(t)$  是一系列反射脉冲,此媒质为多层媒质。

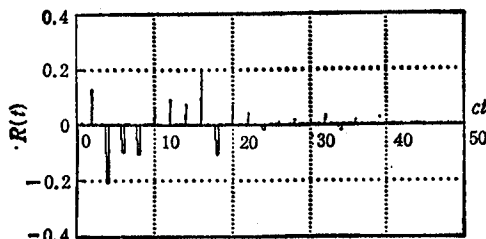
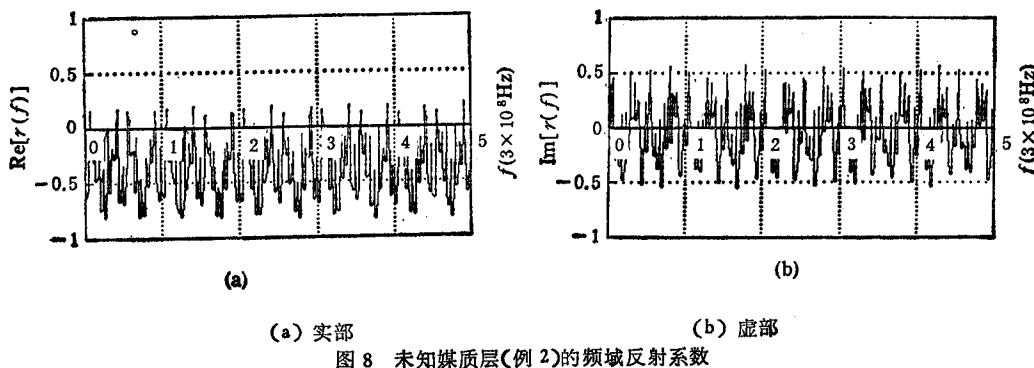


图 9 未知媒质层(例 2)的时域反射系数

按照与例 1 同样的步骤,可重建出此媒质层的参数为

$$\begin{aligned}
 \epsilon_1 &= 4, & d_1 &= 0.5000001, & \epsilon_2 &= 2.250001, & d_2 &= 1.166667; \\
 \epsilon_3 &= 6.250007, & d_3 &= 1.566667; & \epsilon_4 &= 9.000019, & d_4 &= 1.90; \\
 \epsilon_5 &= 16.00005, & d_5 &= 2.15; & \epsilon_6 &= 12.25004, & d_6 &= 2.435714; \\
 \epsilon_7 &= 9.000017, & d_7 &= 2.769047; & \epsilon_8 &= 6.250001, & d_8 &= 3.169047; \\
 \epsilon_9 &= 2.249992, & d_9 &= 3.835715; & \epsilon_{10} &= 3.999953, & d_{10} &= 4.335718; \\
 \epsilon_{11} &= 1.999979
 \end{aligned}$$

即媒质(例 2)为 10 层媒质。

## 六、结语

本文用时域信号流图法分析了多层媒质的时域反射机理,并由此建立了重建方法。计算结果表明,本文方法是有效的。

### 参 考 文 献

- [1] 葛德彪,电磁逆散射原理,西北电讯工程学院出版社,西安,1987年.
- [2] T. Uno, S. Adachi, Electromagnetic inverse scattering method for one-dimensional inhomogeneous layered media, Proc. ISAP. Vol. III,(1985), pp. 887—890.
- [3] 崔铁军,梁昌洪,西安电子科技大学学报,17(1990)3,44—53.
- [4] 崔铁军,重建一维多层介质的新理论——时域信号流图法,西安电子科技大学硕士论文,西安,1989年12月。

## RECONSTRUCTION OF ONE-DEMENSIONAL MULTIPLE-LAYERED MEDIUM USING A TIME-DOMAIN SIGNAL-FLOWGRAPH TECHNIQUE

Cui Tiejun Liang Changhong  
(Xidian University, Xi'an 710071)

**Abstract** A new method to reconstruct multiple-layered medium is first proposed by using a time-domain signal-flow graph (TDSFG) technique. With the equivalent network of the medium, a concept of TDSFG is given, and its rules are derived. Furthermore, the reflection principles in time domain are analysed, and a reconstruction method is established.

**Key words** Multiple-layered medium; Reconstruction; TDSFG; Time domain reflection; Inverse scattering